

(25)

(34)

АКАДЕМИЯ НАУК СССР

РАДИОТЕХНИКА
и
ЭЛЕКТРОНИКА

Том XXI

(ОТДЕЛЬНЫЙ ОТГИСК)

4

МОСКВА · 1976

УДК 621.391.883.2

ХАРАКТЕРИСТИКИ БАЙЕСОВСКОЙ ОЦЕНКИ ПРИ КВАДРАТИЧНОЙ ФУНКЦИИ ПОТЕРЬ

Т. А. Радченко, А. П. Трифонов

В предположении больших отношений сигнал/шум получены приближенные формулы для смещения и рассеяния байесовской оценки неэнергетического параметра сигнала при квадратичной функции потерь. Приведены результаты математического моделирования оценки на ЭВМ.

1. ПОСТАНОВКА ЗАДАЧИ

Пусть на вход приемного устройства в течение интервала времени $[0; T]$ поступает реализация

$$(1) \quad x(t) = s(t, l_0) + n(t),$$

где $n(t)$ — гауссова помеха с нулевым средним значением и функцией корреляции $K(t_1, t_2)$, а $s(t, l_0)$ — полезный сигнал, являющийся известной функцией времени и неизвестного параметра l_0 . Последний распределен с плотностью вероятности $W_{\text{pr}}(l)$ на интервале $[-L/2, L/2]$. Требуется оценить (измерить) параметр l_0 . Оценкой, обладающей минимальным рассеянием (минимальной среднеквадратичной ошибкой), является байесовская оценка при квадратичной функции потерь γ_m [1]. Она представляет собой апостериорное среднее параметра

$$(2) \quad \gamma_m = \int_{-L/2}^{L/2} l W_{\text{ps}}(l) dl.$$

Здесь $W_{\text{ps}}(l)$ — апостериорная плотность вероятности оцениваемого параметра.

Вычислить смещение и рассеяние оценки (2) в общем случае затруднительно. В [2] найдены характеристики этой оценки при малых отношениях сигнал/шум. Полагая неизвестный параметр сигнала l неэнергетическим [3], рассмотрим характеристики оценки (2) при больших отношениях сигнал/шум.

2. СМЕЩЕНИЕ И РАССЕЯНИЕ ОЦЕНКИ

Из определения байесовской оценки при квадратичной функции потерь следует, что эта оценка обладает минимальным рассеянием, которое совпадает с байесовским риском [1]

$$(3) \quad V(\gamma_m) = \langle (\gamma_m - l_0)^2 \rangle = \left\langle \int_{-L/2}^{L/2} (\gamma_m - l)^2 W_{\text{ps}}(l) dl \right\rangle.$$

Усреднение здесь выполняется по реализациям наблюдаемых данных $x(t)$. Учитывая (2) и (3), безусловные смещение и рассеяние оценки можно за-

писать как

$$\begin{aligned} d(\gamma_m) &= \langle -j [d \ln \Theta_{ps}(\omega) / d\omega]_{\omega=0} - l_0 \rangle, \\ V(\gamma_m) &= -\langle d^2 \ln \Theta_{ps}(\omega) / d\omega^2 \rangle_{\omega=0}, \end{aligned}$$

где $\Theta_{ps}(\omega) = \int_{-L/2}^{L/2} W_{ps}(l) \exp(j\omega l) dl$ — апостериорная характеристическая функция. Апостериорная плотность вероятности имеет вид [3]

$$(4) \quad W_{ps}(l) = \frac{W_{pr}(l) \exp \left\{ \int_0^T x(t) v(t, l) dt \right\}}{\int_{-L/2}^{L/2} W_{pr}(l) \exp \left\{ \int_0^T x(t) v(t, l) dt \right\} dl}.$$

Здесь $v(t, l)$ — решение интегрального уравнения

$$\int_0^T K(t, \tau) v(\tau, l) d\tau = s(t, l).$$

Подставляя в (4) значение $x(t)$ из (1) и вводя обозначения

$$\begin{aligned} z^2 &= \int_0^T s(t, l) v(t, l) dt, \quad S(l_0, l) = \int_0^T s(t, l_0) v(t, l) dt / z^2, \\ N(l) &= \int_0^T n(t) v(t, l) dt / z \end{aligned}$$

(причем $\max S(l_0, l) = \langle N(l)^2 \rangle = 1$), получаем

$$(5) \quad W_{ps}(l) = \frac{W_{pr}(l) \exp \{z^2 S(l_0, l) + zN(l)\}}{\int_{-L/2}^{L/2} W_{pr}(l) \exp \{z^2 S(l_0, l) + zN(l)\} dl}.$$

Следовательно, логарифм апостериорной характеристической функции определяется выражением

$$(6) \quad \ln \Theta_{ps}(\omega) = \ln \Psi(\omega, l_0) - C,$$

где

$$\Psi(\omega, l_0) = \int_{-L/2}^{L/2} W_{pr}(l) \exp \{j\omega l + z^2 S(l_0, l) + zN(l)\} dl,$$

$$C = \ln \int_{-L/2}^{L/2} W_{pr}(l) \exp \{z^2 S(l_0, l) + zN(l)\} dl.$$

Найдем вначале условные смещение и рассеяние оценки γ_m

$$(7) \quad \begin{aligned} d(\gamma_m / l_0) &= \langle (\gamma_m - l_0) \rangle = -j [d \langle \ln \Theta_{ps}(\omega) \rangle / d\omega]_{\omega=0} - l_0, \\ V(\gamma_m / l_0) &= \langle (\gamma_m - l_0)^2 \rangle = -[d^2 \langle \ln \Theta_{ps}(\omega) \rangle / d\omega^2]_{\omega=0}. \end{aligned}$$

Приближенные значения интегралов в (19)–(21) найдем, используя асимптотическую формулу Лапласа [5]. Получим при достаточно больших z

$$(22) \quad P_0 \simeq [1 + \mu z e^{-z^2/2} / \sqrt{2\pi} W_{pr}(l_0)]^{-1}, \quad \beta_1 \simeq W_{pr}'(l_0) / \mu^2 z^2 W_{pr}(l_0), \\ \beta_2 = 1/\mu^2 z^2.$$

При помощи (22) перепишем (17) и (18) в виде

$$(23) \quad d(\gamma_m/l_0) \simeq (1 - P_0)(l_{pr} - l_0) + P_0 W_{pr}'(l_0) / \mu^2 z^2 W_{pr}(l_0),$$

$$(24) \quad V(\gamma_m/l_0) \simeq P_0 \{1/\mu^2 z^2 - P_0 [W_{pr}'(l_0) / \mu^2 z^2 W_{pr}(l_0)]^2\} + \\ + (1 - P_0) \{P_0 [l_0^2 + 2l_0 W_{pr}'(l_0) / \mu^2 z^2 W_{pr}(l_0) - 2l_0 l_{pr} - \\ - 2l_{pr} W_{pr}'(l_0) / \mu^2 z^2 W_{pr}(l_0)] + \sigma_{pr}^2 + l_{pr}^2 P_0\}.$$

Подставляя (23) и (24) в (8), можно найти безусловные смещение и рассеяние оценки γ_m .

Достаточно просто интегрирование в (8) можно выполнить при равномерном априорном распределении

$$(25) \quad W_{pr}(l) = \begin{cases} 1/L, & |l| \leq L/2, \\ 0, & |l| > L/2. \end{cases}$$

Действительно, в этом случае из (23) и (24) получаем

$$(26) \quad d(\gamma_m/l_0) \simeq -l_0(1 - P_0),$$

$$(27) \quad V(\gamma_m/l_0) \simeq P_0 / \mu^2 z^2 + (1 - P_0) L^2 / 12 + (1 - P_0) P_0 l_0^2,$$

где величина $P_0 = [1 + \xi z \exp(-z^2/2) / \sqrt{2\pi}]^{-1}$ совпадает с надежностью оценки, введенной в [6]; $\xi = \mu L$. Интегрируя (26) и (27) с весом (25), находим безусловные смещение и рассеяние

$$(28) \quad d(\gamma_m) \simeq 0, \quad V(\gamma_m) \simeq P_0 / \mu^2 z^2 + (1 - P_0^2) L^2 / 12.$$

Если в (28) перейти к пределу при $\xi = \text{const}$ и $z \rightarrow \infty$, то $P_0 \rightarrow 1$ и $V(\gamma_m) \simeq 1/\mu^2 z^2$, что совпадает с дисперсией эффективной оценки [3]. При малых z , учитывая, что предполагается $\xi \gg 1$, получаем $V(\gamma_m) \simeq L^2/12$, т. е. рассеяние оценки γ_m равно дисперсии априорного распределения (25). Таким образом, хотя приближенные формулы получены в предположении, что $z \gg 1$, они дают качественно верный результат и при малых z . Действительно, как нетрудно убедиться, точным значением рассеяния оценки γ_m при $z=0$ является дисперсия априорного распределения [2]. В общем случае точность формул (22)–(24), (26)–(28) увеличивается с ростом z и L .

3. ОЦЕНКА ВРЕМЕННОГО ПОЛОЖЕНИЯ СИГНАЛА

Для иллюстрации полученных соотношений рассмотрим простой пример оценки временного положения колокольного импульса на фоне белого шума с односторонней спектральной плотностью N_0 . Полезный сигнал запишем как

$$(29) \quad s(t, \tau_0) = a \exp[-(t - \tau_0)^2 \beta^2].$$

Предположим, что временное положение сигнала τ распределено на интервале $[-T_0/2; T_0/2]$ с плотностью вероятности

$$(30) \quad W_{pr}(\tau) = \begin{cases} \exp[A \cos(2\pi\tau/T_0)] / T_0 J_0(A), & |\tau| \leq T_0/2, \\ 0, & |\tau| > T_0/2, \end{cases}$$

где $I_0(A)$ — модифицированная функция Бесселя нулевого порядка. Варьируя параметр A распределения (30), можно исследовать зависимость характеристик оценки от степени «сконцентрированности» априорного распределения. Действительно, при $A=0$ распределение (30) переходит в равномерное (25), а при $A \rightarrow \infty$ вырождается в дельта-функцию. Для сигнала (29) при $T-T_0 \gg 1/\beta$ и помехе в виде белого шума имеем

$$(31) \quad \mu = \beta, \quad z^2 = a^2 \sqrt{2\pi} / N_0 \beta, \quad S(\tau_0, \tau) = \exp[-\beta^2(\tau_0 - \tau)^2/2].$$

Подставляя (30) и (31) в (23), (24), а результат — в (8), находим безусловное рассеяние байесовской оценки при квадратичной функции потерь.

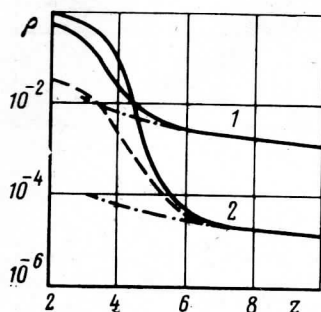


Рис. 1

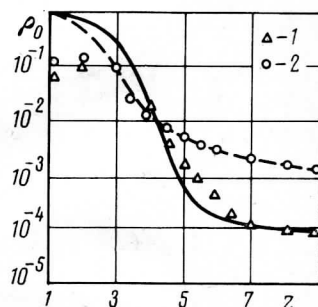


Рис. 2

На рис. 1 приведены зависимости относительного рассеяния $\rho = 12V(\gamma_m)T_0^{-2}$ от отношения сигнала/шум. Сплошными кривыми обозначено рассеяние при $A=0$, пунктиром — при $A=10$, штрих-пунктиром — нормированная дисперсия эффективной оценки [3] $\rho_E = 12/\xi^2 z^2$ для двух значений ξ : 1 — для $\xi=10$, 2 — для $\xi=100$. Величина $\xi = \beta T_0$ определяет число импульсов, разрешимых на интервале T_0 . Из рис. 1 следует, что с ростом сконцентрированности априорного распределения рассеяние оценки уменьшается. Независимо от априорного распределения с увеличением отношения сигнал/шум рассеяние байесовской оценки сходится к дисперсии эффективной оценки.

4. РЕЗУЛЬТАТЫ МАТЕМАТИЧЕСКОГО МОДЕЛИРОВАНИЯ

Как уже отмечалось, точность полученных формул растет с увеличением отношения сигнал/шум z . Поскольку аналитически определить точность этих формул при конечных z затруднительно, потребовалось экспериментальное исследование. На ЭВМ «БЭСМ-4» и «БЭСМ-6» было выполнено моделирование байесовской оценки в соответствии с формулами (2) и (5) для сигнальной функции (31) и априорного распределения (30). Моделирование проводилось для априорных интервалов определения параметра, соответствующих двум значениям ξ : $\xi=10$ и $\xi=40$. Ввиду больших затрат машинного времени были получены лишь условные характеристики оценки (7).

На рис. 2 представлены зависимости условного относительного рассеяния $\rho_0 = 12V(\gamma_m/\tau_0)/T_0^2$, рассчитанные по формулам (22) — (24) и (30) для $\tau_0=0$, $A=0$. Сплошная кривая соответствует $\xi=40$, пунктир — $\xi=10$. На этом же рисунке нанесены экспериментальные значения $\rho_0(z)$, которые обозначены: 1 — для $\xi=40$, 2 — для $\xi=10$. Как видно из рис. 2, для $\xi=10$ наблюдается удовлетворительное согласование теоретических и экспери-

ментальных результатов при $z \geq 3$. Заметное отклонение экспериментальных значений рассеяния байесовской оценки от расчетных при $\xi=40$ и $z=5,0; 5,5; 6,0$, возможно, обусловлено недостаточным объемом экспериментальной выборки ($N=2 \cdot 10^4$). Увеличение объема выборки до необходимой величины ($N \approx 10^5 - 10^6$) приводит к значительному увеличению затрат машинного времени даже при использовании «БЭСМ-6».

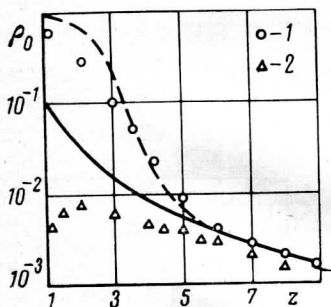


Рис. 3

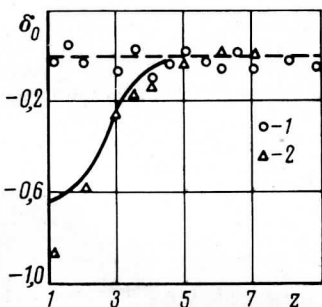


Рис. 4

На рис. 3 приведены зависимости $\rho_0(z)$ для $\xi=10$, $\tau_0=2,5\beta^{-1}$, $A=0$ (пунктир) и для $\xi=10$, $\tau_0=0$, $A=10$ (сплошные кривые). Экспериментальные значения $\rho_0(z)$ здесь обозначены: 1 — для $\tau_0=2,5\beta^{-1}$, $A=0$; 2 — для $\tau_0=0$, $A=10$. Как следует из рисунка, согласование экспериментальных и теоретических результатов для неравномерного распределения ($A=10$) наблюдается при больших отношениях сигнал/шум, чем для равномерного ($A=0$).

На рис. 4 представлено относительное условное смещение $\delta_0 = d(\gamma_m/\tau_0) V^{-1/2} (\gamma_m/\tau_0)$ для $\xi=10$, $\tau_0=2,5\beta^{-1}$, $A=0$ (сплошная кривая) и для $\xi=10$, $\tau_0=0$, $A=0$ (пунктир). Экспериментальные значения $\delta_0(z)$ обозначены: 1 — для $\tau_0=0$, 2 — для $\tau_0=2,5\beta^{-1}$. Здесь наблюдается удовлетворительное согласование теоретических и экспериментальных результатов при $z \geq 2$.

ЛИТЕРАТУРА

- Д. Миддлтон, Введение в статистическую теорию связи, 2, Изд. Советское радио, 1962.
- А. П. Трифонов, Проблемы передачи информации, 1972, 8, 2, 112.
- Е. И. Куликов, Вопросы оценок параметров сигналов при наличии помех, Изд. Советское радио, 1969.
- Е. И. Куликов, А. П. Трифонов, Радиотехника и электроника, 1968, 13, 12, 2254.
- Брейн де Н. Г., Асимптотические методы в анализе, ИЛ, 1961.
- Ф. М. Вудворд, Теория вероятностей и теория информации с применением в радиолокации, Изд. Советское радио, 1955.

Поступила в редакцию
3 III 1975